



Original Article

บทวิทยาการ

# อิทธิพลความเป็นกรด-ด่างต่อลักษณะเนื้อ บนพื้นผิวคอมเมอร์เชียลลิ่ย์เพียวไททาเนียม ที่เตรียมโดยวิธีแอกโนไดเซชัน

วรรณกาญจน์ กาญจนมา ท.บ.<sup>1</sup>วิริทธิพล ศรีมงคล พงศ์ ท.บ., วท.ม., ป.ร.ด.<sup>2</sup>ดุษฤทธิ์ พงษ์เก่า คณะชีวนาฏกรรม (เคมี), วท.ม. (เทคโนโลยีเชรามิก), วท.ด. (วัสดุศาสตร์)<sup>3</sup><sup>1</sup>นิสิตบัณฑิตศึกษา ภาควิชาทันตกรรมประดิษฐ์ คณะทันตแพทยศาสตร์ จุฬาลงกรณ์มหาวิทยาลัย<sup>2</sup>ภาควิชาทันตกรรมประดิษฐ์ คณะทันตแพทยศาสตร์ จุฬาลงกรณ์มหาวิทยาลัย<sup>3</sup>ภาควิชาวัสดุศาสตร์ คณะวิทยาศาสตร์ จุฬาลงกรณ์มหาวิทยาลัย

## บทคัดย่อ

**วัตถุประสงค์** เพื่อเปรียบเทียบลักษณะและโครงสร้างผลึกของขั้นออกไซด์บนพื้นผิวคอมเมอร์เชียลลิ่ย์เพียวไททาเนียมทั้งก่อนและหลังการปรับสภาพผิวด้วยวิธีแอกโนไดเซชัน เมื่อใช้สารละลายที่มีความเป็นกรด-ด่างต่างกัน

**วัสดุและวิธีการ** งานวิจัยนี้ศึกษาในลักษณะคอมเมอร์เชียลลิ่ย์เพียวไททาเนียมเกรด 2 ที่ไม่ผ่านและผ่านกระบวนการแอกโนไดเซชัน ที่ความต่างศักย์ 20 โวลต์ เป็นเวลา 15 นาที ในสารละลาย 3 ชนิด คือ กรดฟอฟอเรวิก โซเดียมฟลูออโรด์ และโซเดียมไฮดรอกไซด์ แทนสภาวะกรด กลาง และด่างตามลำดับ งานวิจัยนี้ศึกษาลักษณะและโครงสร้างผลึกของขั้นออกไซด์โดยใช้ไฟฟ้าโลมิเตอร์ กล้องจุลทรรศน์อิเล็กตรอนแบบส่องการดู เอกซเรย์ ดิฟเฟρกชัน และค่ามุ่งสมผัส วิเคราะห์ความแตกต่างของความชุกระพินผิวและค่ามุ่งสมผัสระหว่างกลุ่มทางสถิติด้วยการวิเคราะห์ความแปรปรวนทางเดียวที่ระดับความเชื่อมั่น 95 เปอร์เซ็นต์และเปรียบเทียบเชิงช้อนแบบแท่งเข็น และบอนเพอร์วีโน

**ผลการศึกษา** พบร่วมกับกระบวนการแอกโนไดเซชันในสารละลายโซเดียมฟลูออโรด์จะให้ความชุกระพินผิว ( $0.078 \pm 0.014$  ไมโครเมตร) และค่ามุ่งสมผัส ( $16.75 \pm 3.24$  องศา) น้อยกว่าโซเดียมไฮดรอกไซด์ กรดฟอฟอเรวิก และกลุ่มที่ไม่ผ่านกระบวนการแอกโนไดเซชันอย่างมีนัยสำคัญ ( $p < 0.05$ )

**สรุป** โดยที่ไททาเนียมที่ผ่านกระบวนการแอกโนไดเซชันในสารละลายโซเดียมฟลูออโรด์ให้สมบัติความชุกระพินผิวน้อยที่สุดแต่ให้ค่าความช้อนน้ำสูงสุด

(ว.ทันตฯ 2553;33:67-76)

**คำสำคัญ:** ความชุกระพินผิว; ค่ามุ่งสมผัส; และบอนเพอร์วีโน

## บทนำ

ไทยาเนียมเป็นหนึ่งในโลหะที่สามารถสร้างชั้นออกไซด์ที่เลือยขึ้นมาคลุมพื้นผิวได้เองเมื่อสัมผัสกับอากาศ Jen โดยชั้นออกไซด์นี้มีความหนาประมาณ 2-5 นาโนเมตร และเป็นสิ่งที่ทำให้ไทยาเนียมมีความต้านทานต่อการสึกกร่อน (Corrosion resistance) ที่ดี ส่งผลให้มีความเข้ากันได้ทางชีวภาพ (Biocompatibility) ที่ดีด้วย<sup>1,2</sup> สมบัติที่ยอดเยี่ยมดังกล่าวจึงทำให้มีการนำไปใช้ในงานและการแพทย์ที่มีการผสานอุปกรณ์เทียมในกระดูก (Orthopedic implant) นอกจากเหนือจากสมบัติที่สามารถสร้างชั้นออกไซด์แล้วยังมีปัจจัยอื่นๆ ที่ส่งผลต่อความสำเร็จของการใช้งานไทยาเนียมที่ฝังในกระดูก เช่น ลักษณะของพื้นผิวออกไซด์ ความชอบน้ำของชั้นออกไซด์ (Hydrophilic) สิ่งเหล่านี้นำไปสู่การพัฒนาและศึกษาถึงการปรับสภาพผิวของโลหะไทยาเนียมเพื่อเพิ่มสมบัติของโลหะไทยาเนียมให้ดียิ่งขึ้น

ปัจจุบันการปรับสภาพผิว (Surface modification) ของโลหะไทยาเนียมให้ดีขึ้นมีหลายวิธี เช่น การใช้กรดปรับสภาพผิว (Acid etching) พลาสม่าสเปรย์เทคนิค (Plasma spray technique) การเป่าด้วยอนุภาคเซรามิก (Grit-blasting) และอโนไดซ์ชัน (Anodization) และอื่นๆ อย่างไรก็ตามบางวิธียังพบว่ามีข้อบกพร่อง เช่น พลาสม่าสเปรย์เทคนิค มีจุดบกพร่องที่อาจมีการหลุดของวัสดุที่นำมาใช้ เช่น ไฮดรอกซิอะพาไทต์ (Hydroxyapatite) หรือผลึกไทยาเนียม<sup>3-6</sup> วิธีการใช้กรดหรือสารเคมีปรับสภาพผิวอาจลดสมบัติทางกลของไทยาเนียมหรือทำให้เกิดรอยแตกที่ผิวซึ่งอาจมีผลต่อความต้านทานต่อความล้า (Fatigue resistance) ของรากเทียมได้ในภายหลัง<sup>3</sup> ด้วยเหตุผลหลาย ๆ ประการทำให้มีการคิดพัฒนาวิธีการปรับสภาพพื้นผิวอีกเช่นเดิม เช่น ในการปรับสภาพผิวของชั้นออกไซด์นั้นให้เป็นไปตามที่ต้องการโดยการปรับปัจจัยต่างๆ เช่น ปริมาณความต้านทานศักย์ ปริมาณกระแสไฟฟ้า ชนิดและความเข้มข้นของสารละลาย ระยะเวลา และอุณหภูมิ อาจกล่าวได้ว่าการทำแอกโนไดซ์ชันเป็นการปรับสภาพของชั้นออกไซด์ทั้งในด้านความหนา ความขรุขระ

## ส่วนประกอบ โครงสร้างผลึกและลักษณะพื้นผิว<sup>1,7,8</sup>

ความชอบน้ำของชั้นออกไซด์เป็นสมบัติที่สำคัญในการดูดซับโปรตีนและการยึดเกาะของเซลล์กับชั้นออกไซด์ที่ปักคลุมบนไทยาเนียมที่ผ่านการปรับสภาพพื้นผิวแล้วพิจารณาได้จากค่ามุมสัมผัส (Contact angle) และค่าพลังงานพื้นผิว (Surface energy) ของวัสดุ โดยวัสดุที่มีค่าพลังงานพื้นผิวสูงจะมีค่ามุมสัมผัสต่ำ ทำให้พื้นผิวสัมผัสนั้นมีความชอบน้ำ สมบัติความชอบน้ำของชั้นออกไซด์บนพื้นผิวไทยาเนียมนั้นอาจขึ้นกับชนิดของโครงสร้างผลึกออกไซด์ด้วย เป็นที่ทราบกันดีแล้วว่าชนิดของออกไซด์ที่เสถียรที่สุด คือ ไทยาเนียมไดออกไซด์ ( $TiO_2$ ) แบ่งออกได้เป็น 3 ชนิดตามลักษณะของโครงสร้างผลึก ได้แก่ เททระไนโอลอบนาเทส (tetragonal anatase) ออฟโรห์มบิคบูร์กิต (orthorhombic brookite) และเททระไนโอลูไทร์ (tetragonal rutile) มีการศึกษาที่รายงานผลแทรกต่างกันไป เช่น มีรายงานกล่าวอ้างว่าโครงสร้างผลึกที่มีเฉพาะไทยาเนียมไดออกไซด์ชนิดครูไทร์จะมีสมบัติไม่ชอบน้ำ (Hydrophobic)<sup>2,9</sup> ขณะที่เมื่อโครงสร้างผลึกเป็นส่วนผสมของไทยาเนียมไดออกไซด์ชนิดครูไทร์และอบนาเทส แล้วจะมีความชอบน้ำ<sup>7,9</sup> นอกจากนี้ยังมีรายงานว่าไทยาเนียมไดออกไซด์ชนิดอบนาเทสเป็นตัวที่มีบทบาทสำคัญที่ทำให้เกิดความชอบน้ำของชั้นออกไซด์<sup>10</sup> ซึ่งอย่างไรก็ตามจนถึงปัจจุบันก็ยังไม่มีความแน่ชัดในประเด็นนี้

ในอดีตมีรายงานการปรับสภาพผิวไทยาเนียมด้วยวิธีแอกโนไดซ์ชันในสารละลายที่แตกต่างกันซึ่งให้ผลที่แตกต่างกันออกไป มีทั้งที่กล่าวว่าสามารถเพิ่มความต้านทานต่อการสึกกร่อนได้เมื่อไทยาเนียมผ่านการปรับสภาพผิวด้วยการทำแอกโนไดซ์ชันในสารละลายด่างเข้มข้น<sup>8</sup> และมีที่แสดงให้เห็นว่าการแอกโนไดซ์ชันในสารละลายกรดต่างๆ จะสร้างความขรุขระที่ส่งผลดีต่อการยึดติดกับเซลล์<sup>11</sup> แต่อย่างไรก็ตามก็ยังไม่พบรายงานข้ออ้างอิงที่ยืนยันว่าสารละลายที่มีค่าความเป็นกรด-ด่างที่แตกต่างกันจะส่งผลต่อสมบัติของชั้นออกไซด์ ในเบื้องต้นความขรุขระของพื้นผิว ชนิดของโครงสร้างผลึกของชั้นออกไซด์ และความชอบน้ำของพื้นผิวสัมผัสนี้หรือไม่

ฉะนั้นในการศึกษานี้จึงทำเพื่อเบรย์ที่ยับลักษณะและโครงสร้างผลึกของชั้นออกไซด์บนไทยาเนียมก่อนและหลังผ่านการปรับสภาพพื้นผิวด้วยวิธีแอกโนไดซ์ชัน เมื่อใช้ชนิดของสารละลายที่มีความเป็นกรด-ด่างต่างกัน

## วัสดุและวิธีการ

### วิธีการเตรียมชิ้นตัวอย่าง

ชิ้นทดสอบขนาด  $10 \times 15 \times 1.5$  มม.<sup>3</sup> เตรียมจากโลหะคอมเมอร์เชียลลีเย่เพียงไททาเนียม เกรด 2 (บิชัทนาโนซีล์ด, ประเทศไทย) จำนวน 30 ชิ้น หลังจากตัดชิ้นทดสอบให้ได้ขนาดที่ต้องการแล้วจึงขัดด้วยเครื่องขัดผิววัสดุ (DPS 3200, IMPTECH, South Africa) โดยใช้กระดาษทรายน้ำด้วยเบอร์ 600 ถึง 2000 และสิ้นสุดด้วยการขัดด้วยผงขัดเพชร (Diamond paste) ขนาด 6 3 และ 1 ไมครอนตามลำดับ แล้วทำความสะอาดด้วยเครื่องอัลตราโซนิกในสารละลายอะซีเดน 5 นาที และล้างด้วยน้ำกลั่น ชิ้นทดสอบทั้งหมดจะถูกนำไปปั๊บในสารละลายกรดไฮdroฟลูออริก 1 เปอร์เซ็นต์ (Hydrofluoric acid 1%) นาน 1 นาที เลือกไททาเนียมแบบสุ่มจำนวน 10 ชิ้นไปวัดและบันทึกความขรุขระพื้นผิว ก่อนทำแอกโนไดเซ็นด้วยเครื่องโปรไฟล์ไมโครสแกน (Talyscan 150, England) ใช้เทคนิคหัวเข็ม ระยะวัด 7 มม. ตัวกรองเกาส์เชียน (Gaussian Filter) 0.25 มม. รายงานผลเป็นค่า Ra (Arithmetical mean roughness) และใช้เป็นค่าความขรุขระพื้นผิว (Surface roughness) ของกลุ่มที่ไม่ผ่านกระบวนการแอกโนไดเซ็น จากนั้นทำการเลือกแบบสุ่มจำนวน 5 ชิ้นจากจำนวน 10 นี้ มาวัดค่ามุ่งสัมผัสด้วยคอนแทกแองเกิล มิเตอร์ (CA-A , Face, Kyowa Interface Science CO., LTD, Japan) โดยใช้น้ำกลั่น จากนั้นนำชิ้นทดสอบทั้งหมดมารวมกันอีกครั้งแล้วแบ่งชิ้นทดสอบทั้ง 30 ชิ้นแบบสุ่มเป็น 3 กลุ่มสารละลาย กลุ่มละ 10 ชิ้น เพื่อเป็นตัวแทนการทำแอกโนไดเซ็นในสารละลายที่เป็นกรด กลาง และด่าง

### กระบวนการแอกโนไดเซ็นและการวิเคราะห์มุ่งสัมผัส

ชิ้นทดสอบทั้ง 3 กลุ่ม กลุ่มละ 10 ชิ้น จะเข้าสู่กระบวนการแอกโนไดเซ็นโดยวิธีไฟเทนทิโอล์ฟาร์กิ (Potentiostatic) ใช้ความต่างศักย์ 20 โวลต์ เป็นเวลา 15 นาที ในสารละลายที่มีความเป็นกรด-ด่างต่างกัน 3 ชนิด ได้แก่ สารละลายกรดฟอสฟอริก (Phosphoric acid,  $H_3PO_4$ ) ค่าความเป็นกรด-ด่างเท่ากับ 0.4 สารละลายโซเดียมฟลูออไรด์ (Sodium fluoride solution, NaF) ค่าความเป็นกรด-ด่างเท่ากับ 8 และสารละลายโซเดียมไฮดรอกไซด์ (Sodium hydroxide solution, NaOH) ค่าความเป็นกรด-ด่างเท่ากับ 13 สารละลายทั้ง 3 ชนิดมีความเข้มข้น 1 มิลลาร์ จากนั้นล้างด้วยน้ำกลั่น

แล้วเป่าแห้งที่อุณหภูมิห้อง และนำมารักษาความชุรุขระพื้นผิว หลังทำแอกโนไดเซ็นด้วยเครื่องโปรไฟล์ไมโครสแกน นำตัวแทนชิ้นทดสอบที่ผ่านกระบวนการแอกโนไดเซ็นที่ทำการเลือกแบบสุ่ม กลุ่มละ 5 ชิ้นจาก 10 ชิ้นของแต่ละกลุ่มสารละลายมาวัดค่ามุ่งสัมผัส นำความขรุขระพื้นผิวและค่ามุ่งสัมผัสของชิ้นทดสอบทั้งที่ไม่ผ่านและผ่านกระบวนการแอกโนไดเซ็นมาวิเคราะห์ทางสถิติด้วยการวิเคราะห์ความแปรปรวนทางเดียว ที่ระดับความเชื่อมั่น 95 เปอร์เซ็นต์ และเปรียบเทียบเชิงข้อมูลแบบใหม่สำหรับความขรุขระพื้นผิว และแบบบอนเฟอร์โรนิสำหรับค่ามุ่งสัมผัส

### การวิเคราะห์ลักษณะของไททาเนียมออกไซด์ด้วยกล้องจุลทรรศน์อิเล็กทรอนแบบส่องกราด (Scanning electron microscopy, SEM)

นำตัวแทนชิ้นทดสอบที่ไม่ได้ผ่านกระบวนการแอกโนไดเซ็น และที่ผ่านกระบวนการแอกโนไดเซ็นในสารละลายที่มีความเป็นกรด-ด่างต่างกันทั้ง 3 ชนิด กลุ่มละ 1 ชิ้น มาวิเคราะห์ลักษณะของไททาเนียมออกไซด์ด้วยกล้องจุลทรรศน์อิเล็กทรอนแบบส่องกราด (JSM-6480LV, JEOL, Eching b. München, Germany) ขยาย 30,000 เท่า ที่ 20 กิโลโวลต์

### การวิเคราะห์เฟสของไททาเนียมออกไซด์ด้วยเครื่องเอกซเรย์ดิฟฟราクชัน (X-Ray Diffraction, XRD)

นำตัวแทนชิ้นทดสอบที่ผ่านกระบวนการแอกโนไดเซ็นในสารละลายที่มีความเป็นกรด-ด่างต่างกันทั้ง 3 ชนิด กลุ่มละ 1 ชิ้น มาวิเคราะห์เฟสของชิ้นออกไซด์ที่เกิดขึ้นด้วยเครื่องเอกซเรย์ดิฟฟราคชัน (D8 Discover, BRUKER-axs, Germany) ด้วยเทคนิคเกรชิงก์อินชีเดนซ์ดิฟฟราคชัน (Grazing incidence diffraction, GID) ที่มุมคงที่ 3 องศา

## ผลการศึกษา

### ค่าความขรุขระพื้นผิว

เมื่อวัดค่าความขรุขระพื้นผิวชิ้นทดสอบทั้งที่ไม่ผ่านและผ่านกระบวนการแอกโนไดเซ็นด้วยเครื่องโปรไฟล์ไมโครสแกน และรายงานผลเป็นค่า Ra พบร่วกกลุ่มไททาเนียมที่ผ่านกระบวนการแอกโนไดเซ็นในสารละลายโซเดียมฟลูออไรด์มีความขรุขระพื้นผิวต่ำที่สุด ขณะที่สารละลายกรดฟอสฟอริก

ใช้เดี่ยมไฮดรอกไซด์และกลุ่มที่ไม่ผ่านกระบวนการแผลในไดเซชัน จะทำให้ความชุรุยะพื้นผิวมากขึ้นตามลำดับ (ตารางที่ 1)

เมื่อเปรียบเทียบระหว่างกลุ่มด้วยการวิเคราะห์ความแปรปรวนทางเดียวที่ระดับความเชื่อมั่น 95 เปอร์เซ็นต์และเปรียบเทียบเชิงช้อนแบบแทนเงิน พบร่วมกันที่ใช้เดี่ยมฟลูออิร์ดเป็นสารละลายจะมีค่าน้อยกว่ากลุ่มที่ใช้ไฮดรอกไซด์กรดฟอสฟอริก และกลุ่มที่ใช้ไฮเดรียมไฮดรอกไซด์เป็นสารละลายในกระบวนการแผลในไดเซชัน กลุ่มที่ใช้กรดฟอสฟอริก และกลุ่มที่ใช้ไฮเดรียมไฮดรอกไซด์เป็นสารละลายในกระบวนการแผลในไดเซชันอย่างมีนัยสำคัญทางสถิติ ( $p < 0.05$ ) ขณะที่กลุ่มที่ไม่ผ่านกระบวนการแผลในไดเซชัน กลุ่มที่ใช้กรดฟอสฟอริก และกลุ่มที่ใช้ไฮเดรียมไฮดรอกไซด์เป็นสารละลายในกระบวนการแผลในไดเซชันนั้น มีความแตกต่างกันอย่างไม่มีนัยสำคัญทางสถิติ

### การวิเคราะห์มุ่งสัมผัส

เมื่อนำตัวแทนชิ้นทดสอบทุกกลุ่มมาวัดค่ามุ่งสัมผัส พบร่วมกันที่ไม่ผ่านแผลในไดเซชันในสารละลายใช้เดี่ยมฟลูออิร์ดมีค่ามุ่งสัมผัสต่ำที่สุด รองลงมาคือโลหะไทยเนียมที่ไม่ได้ผ่านกระบวนการแผลในไดเซชัน โลหะไทยเนียมที่ผ่านแผลในไดเซชันในสารละลายใช้เดี่ยมไฮดรอกไซด์ และโลหะไทยเนียมที่ผ่านแผลในไดเซชันในสารละลายกรดฟอสฟอริกให้ค่ามุ่งสัมผัสรูงสุด (ตารางที่ 2)

**ตารางที่ 1** ค่าเฉลี่ยและส่วนเบี่ยงเบนมาตรฐานของความชุรุยะพื้นผิวของโลหะไทยเนียมก่อนและหลังผ่านกระบวนการแผลในไดเซชันในสารละลายที่ต่างกัน 3 ชนิด (กรดฟอสฟอริก ไฮเดรียมฟลูออิร์ด และไฮเดรียมไฮดรอกไซด์ ความเข้มข้น 1 มอลาร์) ที่ 20 โวลต์ นาน 15 นาที

Table 1 Surface roughness (Mean  $\pm$  Standard deviation) of titanium before and after anodization in three different electrolytes (1M H<sub>3</sub>PO<sub>4</sub>, 1M NaF and 1M NaOH) at 20 V for 15 minutes

	Surface roughness ( $\mu\text{m}$ )
Before anodization	0.103 $\pm$ 0.005
H <sub>3</sub> PO <sub>4</sub>	0.100 $\pm$ 0.013
NaF	0.078 $\pm$ 0.014*
NaOH	0.101 $\pm$ 0.014

\*ความแตกต่างอย่างมีนัยสำคัญเมื่อเปรียบเทียบเชิงช้อนแบบแทนเงิน ( $p < 0.05$ )

\*Statistically significant difference with Tamhane multiple comparisons ( $p < 0.05$ )

เมื่อเปรียบเทียบระหว่างกลุ่มด้วยการวิเคราะห์ความแปรปรวนทางเดียวที่ระดับความเชื่อมั่น 95 เปอร์เซ็นต์ และเปรียบเทียบเชิงช้อนแบบบนเพอร์โวเน พบร่วมกันที่ใช้เดี่ยมฟลูออิร์ดเป็นสารละลายจะมีค่าน้อยกว่ากลุ่มที่ใช้สารละลายเป็นไฮเดรียมไฮดรอกไซด์ กรดฟอสฟอริก และกลุ่มที่ไม่ผ่านกระบวนการแผลในไดเซชันอย่างมีนัยสำคัญทางสถิติ ( $p < 0.05$ ) ในขณะที่กลุ่มที่ใช้ไฮเดรียมไฮดรอกไซด์เป็นสารละลายจะให้ค่ามุ่งสัมผัสที่แตกต่างกันอย่างไม่มีนัยสำคัญทางสถิติกับกลุ่มที่ใช้สารละลายกรดฟอสฟอริกและกลุ่มที่ไม่ผ่านกระบวนการแผลในไดเซชันและพบความแตกต่างอย่างมีนัยสำคัญทางสถิติระหว่างกลุ่มที่ไม่ผ่านกระบวนการแผลในไดเซชันและกลุ่มที่ผ่านกระบวนการแผลในไดเซชันในสารละลายกรดฟอสฟอริก ( $p < 0.05$ )

### การวิเคราะห์ลักษณะพื้นผิวไทยเนียมด้วยกล้องจุลทรรศน์อิเล็กตรอนแบบส่องกราด

เมื่อนำกลุ่มชิ้นทดสอบที่ไม่ได้ผ่านกระบวนการแผลในไดเซชันและกลุ่มที่ผ่านกระบวนการแผลในไดเซชันในสารละลายที่แตกต่างกัน 3 ชนิด มาวิเคราะห์ลักษณะพื้นผิวด้วยกล้องจุลทรรศน์อิเล็กตรอนแบบส่องกราด จากรูปที่ 1 จะเห็นได้ว่า สภาพของพื้นผิวของโลหะไทยเนียมที่ผ่านกระบวนการแผลในไดเซชันจะเกิดลักษณะผลึกไทยเนียมออกไซด์เกาะหนาแน่นมากกว่ากลุ่มที่ไม่ผ่านกระบวนการแผลในไดเซชัน

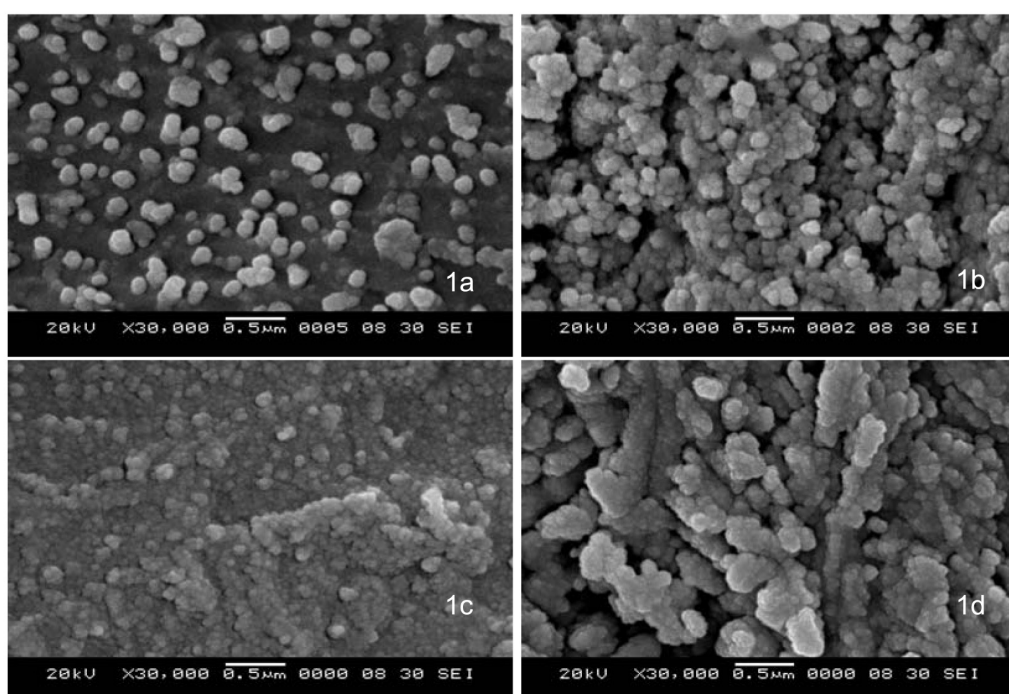
**ตารางที่ 2** ค่าเฉลี่ยและส่วนเบี่ยงเบนมาตรฐานของค่ามุนสัมผัสของโลหะไททาเนียมก่อนและหลังผ่านกระบวนการแอกโนไดซ์ชันในสารละลายน้ำที่ต่างกัน 3 ชนิด (กรดฟอสฟอริก ไฮเดรียมฟลูออิร์ด และไฮเดรียมไอก្រอกไซด์ ความเข้มข้น 1 มิลลาร์) ที่ 20 โวลต์ นาน 15 นาที

**Table 2** Contact angle (Mean  $\pm$  Standard deviation) of titanium before and after anodization in three different electrolytes ( $1\text{M H}_3\text{PO}_4$ ,  $1\text{M NaF}$  and  $1\text{M NaOH}$ ) at 20 V for 15 minutes

		Contact angle (degree)
Before anodization		
NaF		$60.3 \pm 2.83$
NaOH		$*16.75 \pm 3.24$
$\text{H}_3\text{PO}_4$		$66.8 \pm 4.71$
		$74.35 \pm 4.88$

\*ความแตกต่างอย่างมีนัยสำคัญเมื่อเปรียบเทียบเทียบเชิงช้อนแบบบอนเฟอร์โนน ( $p < 0.05$ )

\*Statistically significant difference with Bonferroni multiple comparisons ( $p < 0.05$ )



**รูปที่ 1** ภาพถ่ายด้วยกล้องจุลทรรศน์อิเล็กตรอนแบบส่องภาพแสดงลักษณะพื้นผิวของคอมเมอร์เซียลลีฟเพียวไททาเนียม **1a** ก่อนผ่านกระบวนการแอกโนไดซ์ชัน **1b**, **1c**, **1d** ผ่านกระบวนการแอกโนไดซ์ชันในสารละลายน้ำที่เดี่ยมฟลูออิร์ด ไฮเดรียมไอก្រอกไซด์ และกรดฟอสฟอริก ตามลำดับ

**Fig. 1** SEM shows surface characteristic of Cp Ti **1a** before anodization **1b**, **1c**, **1d** anodized titanium in NaF, NaOH and  $\text{H}_3\text{PO}_4$  solutions, respectively.

## การวิเคราะห์เฟสของไทาเนียมออกไซด์ด้วยเครื่องเอกซเรย์ดิฟแทรกชัน

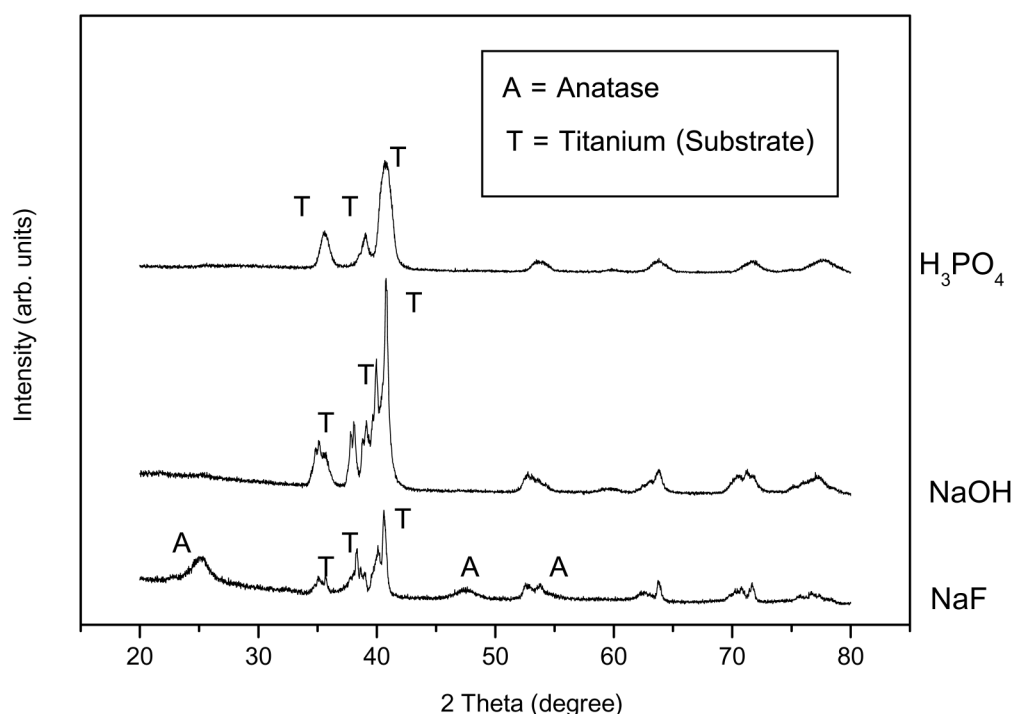
เมื่อนำเข้าทดสอบที่ผ่านกระบวนการแอกโนไดเซชันแล้ว มากวิเคราะห์เฟสของชั้นออกไซด์ พบร่วมกับกลุ่มที่ผ่านกระบวนการแอกโนไดเซชันในสารละลายโซเดียมฟลูออิร์ด เท่านั้นที่เกิดชั้นออกไซด์ที่โครงสร้างผลึกเป็นไทาเนียมไดออกไซด์ชนิดอะนาเทส ในขณะที่กลุ่มที่ใช้เดียมไอก្រอกไไซด์ และกรดฟอสฟอริกเป็นสารละลายนั้นไม่สามารถตรวจพบ ลักษณะโครงสร้างผลึกเป็นไทาเนียมไดออกไซด์ชนิดอะนาเทส ได (รูปที่ 2)

### วิจารณ์

งานทันตกรรมรากเทียมจะประสบผลสำเร็จได้ขึ้นกับ ปัจจัยหลายอย่าง การเลือกใช้รากที่เหมาะสมมีส่วนทำให้เกิด กระดูกเชื่อมประสาน (Osseointegration) ได้ ไทาเนียม เป็นวัสดุที่ได้รับความนิยมมากทางทันตกรรมรากเทียม เนื่องจากมีความเข้ากันได้ทางชีวภาพที่ยอดเยี่ยม การปรับ

สภาพพื้นผิวไทาเนียมด้วยวิธีแอกโนไดเซชันสามารถเพิ่ม สมบัติความเข้ากันได้ทางชีวภาพของไทาเนียมให้ดียิ่งขึ้นอีก จากการเกิดกระบวนการพาสสิเวชัน<sup>1,3,4,9,12-14</sup> ในงาน ทันตกรรมรากเทียม การเกิดกระดูกเชื่อมประสานได้รับอิทธิพล อย่างมากจากความชุ่มชื้นและความชอบน้ำของพื้นผิว เมื่อ ปรับปัจจัยในกระบวนการแอกโนไดเซชัน เช่น ความต่างศักย์ไฟฟ้า/กระแสไฟฟ้า ชนิดของสารละลายน้ำ ระยะเวลา และ อุณหภูมิที่ใช้ในกระบวนการแอกโนไดเซชัน จะส่งผลต่อสภาพ พื้นผิว ทำให้ได้ชั้นออกไซด์ที่มีคุณสมบัติต่างกันไปจึงสามารถ พัฒนาคุณสมบัติอื่นของชั้นออกไซด์นั้นไปพร้อมกันด้วย ซึ่ง เทคนิคการปรับสภาพพื้นผิวโลหะไทาเนียมด้วยวิธีแอกโนไดเซชันได้มีการนำมาใช้ในอุตสาหกรรมรากเทียมในปัจจุบันแล้ว

ในการวิจัยนี้ให้ความสนใจที่ชนิดของสารละลายน้ำที่มี ความเป็นกรด-ด่างต่างกันที่ใช้ในกระบวนการแอกโนไดเซชัน ว่าจะส่งผลต่อความชุ่มชื้นของพื้นผิว ชนิดและลักษณะของ โครงสร้างผลึกออกไซด์และความชอบน้ำของพื้นผิวไทาเนียม แตกต่างกันเช่นไร สารละลายน้ำที่ใช้ในงานวิจัยนี้มี 3 ชนิด คือ กรดฟอสฟอริก โซเดียมฟลูออิร์ด และโซเดียมไอก្រอกไไซด์



รูปที่ 2 แบบแผน XRD ชั้นออกไซด์ของไทาเนียมที่ผ่านแอกโนไดเซชันในสารละลายน้ำเดียมฟลูออิร์ด โซเดียมไอก្រอกไไซด์ และ กรดฟอสฟอริก

**Fig. 2** XRD pattern of anodic oxide film of titanium in NaF, NaOH and  $\text{H}_3\text{PO}_4$  solutions

เป็นตัวแทนสารละลายที่มีความเป็นกรด กลาง และด่างตามลำดับ ปัจจุบันไม่พบงานที่ศึกษาเปรียบเทียบระหว่างสารละลายที่เป็นกลางกับสารละลายที่เป็นกรดและด่าง ขณะที่มีการทดลองที่เปรียบเทียบความชุ纪律พื้นผิวเมื่อทำแอกโนไดเซ็นในสารละลายกรดและด่าง โดยในปี ก.ศ. 2005 Boon และคณะได้กล่าวข้างว่า การทำแอกโนไดเซ็นในสารละลายด่างจะทำให้เกิดความชุ纪律พื้นผิวมากกว่าการใช้สารละลายกรด<sup>15</sup> แต่ในงานวิจัยนี้ผู้วิจัยพบว่าการทำแอกโนไดเซ็นในสารละลายกรดหรือด่างให้ความชุ纪律พื้นผิวแตกต่างกันอย่างไม่มีนัยสำคัญทางสถิติ สาเหตุอาจมาจากการใช้ปัจจัยต่างๆ ในขั้นตอนแอกโนไดเซ็นที่แตกต่างกัน เช่น ความเข้มข้นของสารละลาย ปริมาณความต่างศักย์ และระยะเวลา

งานศึกษาหลายฉบับอ้างถึงผลที่นาโพใจเมื่อใช้สารละลายกรดในกระบวนการแอกโนไดเซ็น<sup>1,3,11</sup> ในปี ก.ศ. 2007 Das และคณะ<sup>11</sup> อ้างว่าสามารถเพิ่มความชุ纪律ของพื้นผิวเมื่อใช้สารละลายกรดที่แตกต่างกัน 3 ชนิด ในกระบวนการแอกโนไดเซ็น ได้แก่ กรดซัลฟิวริก กรดฟอสฟอริก และกรดไฮโดรฟลูออเริก ซึ่งการทำแอกโนไดเซ็นในสารละลายกรดฟอสฟอริกแสดงให้เห็นว่ามีการยึดเกาะของเซลล์อสติโอบลาสต์บนพิภายนอกให้ดีจึงเป็นสาเหตุที่ทำให้งานวิจัยนี้เลือกรดฟอสฟอริกเป็นตัวแทนของสารละลายกรดโดยใช้ความต่างศักย์ไฟฟ้าเท่ากัน คือ 20 ไวลต์ แต่มีความแตกต่างกันที่ระยะเวลาที่ใช้ เนื่องจากในงานวิจัยนี้มีข้อจำกัดของคุณภาพน้ำหนักไฟฟ้าจึงใช้เวลาในกระบวนการแอกโนไดเซ็นเพียง 15 นาที โครงสร้างหันออกไซด์ที่ได้จะไม่พบรากเนียมไดออกไซด์ แต่ Das และคณะใช้ระยะเวลา 1 ชั่วโมง และหันออกไซด์ที่พบเป็นไวกาเนียมไดออกไซด์ปกคลุมทั่วทั้งชิ้นทดสอบ และ Das สรุปไว้ว่าจะเกิดเช่นนี้ได้เมื่อใช้ไวกาเนียมไดออกไซด์ แต่ Das และคณะใช้ระยะเวลา 1 ชั่วโมง และหันออกไซด์ที่พบเป็นไวกาเนียมไดออกไซด์ปกคลุมทั่วทั้งชิ้นทดสอบ และ Das สรุปไว้ว่าจะเกิดเช่นนี้ได้เมื่อใช้เวลานานตั้งแต่ 1 ชั่วโมงขึ้นไป งานวิจัยนี้และงานของ Das และคณะต่างพบว่าหันออกไซด์ที่เกิดขึ้นไม่มีรูรุนเหมือนกัน ในส่วนของสารละลายด่างนั้นงานวิจัยนี้ใช้เดิมไม่ครอบครองไฮด์รอกาลูมที่มีความเข้มข้น 1 มิลลาร์ เป็นสารละลาย ซึ่งผลการทดลองพบว่าให้ชั้นแอกโนไดเซ็นออกไซด์ที่อัดแน่น และมีความเป็นรูรุนต่ำซึ่งใกล้เคียงกับงานวิจัยของ Afshar และ Vaezi<sup>8</sup> ที่ใช้สารละลายไฮเดรียมไฮดรอกาลูมโดยใช้ศักย์ไฟฟ้าที่ต่ำ และใช้เวลาไม่นานเหมือนกัน เมื่อไม่มีการใช้ความร้อนร่วมด้วย แต่เมื่อให้ความร้อนภายหลังกระบวนการแอกโนไดเซ็น Afshar และ Vaezi พบรากที่เกิดโครงสร้างผลึกไวกาเนียมไดออกไซด์ทั้งชนิดครูไอล์และอะนาเทส<sup>8</sup> จึงเห็นได้ว่าชนิดโครงสร้างผลึกออกไซด์ที่นี้อยู่กับปัจจัยต่างๆ ในกระบวนการแอกโนไดเซ็นรวมทั้งปัจจัยอุณหภูมิด้วย

มีงานวิจัยหลายฉบับที่ศึกษาถึงอิทธิพลของความต่างศักย์ในการทำแอกโนไดเซ็น สรุปผลไว้ว่าความต่างศักย์สูงจะทำให้เกิดความชุ纪律พื้นผิวสูง โดยคณะผู้วิจัยก่อนหน้านี้ใช้ระดับความต่างศักย์ไฟฟ้าที่สูงจนทำให้เกิดปฏิกิริยาที่เรียกว่าไมโคร-อาร์กอไซด์ (Micro-arc oxidation)<sup>16,17</sup> แต่ในการวิจัยนี้ต้องการศึกษาการทำแอกโนไดเซ็นที่ใช้ระดับความต่างศักย์ไฟฟ้าต่ำ คือ 20 ไวลต์ ซึ่งในอดีตมีงานวิจัยหลายฉบับศึกษากระบวนการแอกโนไดเซ็นโดยใช้ความต่างศักย์ประมาณ 20 ไวลต์ และสามารถเกิดพื้นผิวที่เป็นแอกโนไดเซอร์เฟสได้โดยแต่ละงานวิจัยมีความแตกต่างกันในการปรับใช้ปัจจัยต่างๆ ในการทำแอกโนไดเซ็น<sup>1,18,19</sup>

ในงานทันตกรรมรากเทียม เซลล์อสติโอบลาสต์ได้รับอิทธิพลอย่างมากจากความชุ纪律ของพื้นผิวและความชอบน้ำของพื้นผิวไวกาเนียม โดยส่งผลต่อการดูดซับโปรตีนของชั้นออกไซด์บนพื้นผิวไวกาเนียมในอดีตมีการศึกษาเพียงเล็กน้อยที่กล่าวถึงความสัมพันธ์ระหว่างความชุ纪律พื้นผิวและความชอบน้ำของพื้นผิว อิทธิพลของความชุ纪律พื้นผิวต่อการดูดซับโปรตีนนั้นมีการศึกษาพบว่าโลหะผสมไวกาเนียมที่มีพิษชุ纪律จะดูดซับไฟเบรนектิน (Fibronectin) ในปริมาณที่สูงกว่าเมื่อเทียบกับโลหะผสมไวกาเนียมที่มีพิษเรียบ<sup>20</sup> ในทางตรงข้าม มีการศึกษาที่พบว่าเมื่อเพิ่มความชุ纪律ของพื้นผิวไวกาเนียมจะทำให้มีการดูดซับไฟเบรนектินลดลง<sup>21</sup> ซึ่งสอดคล้องกับงานวิจัยนี้ที่ให้ผลการวิจัยว่าโลหะไวกาเนียมที่มีความชุ纪律พื้นผิวน้อยจะพบว่ามีค่ามุ่งสัมผัสต่ำด้วยอย่างไรก็ตามยังไม่มีข้อสรุปชัดเจนในเรื่องนี้ โดยทั่วไปแล้วมีข้อสรุปหลักอยู่ประการหนึ่ง คือ ความชุ纪律จะทำให้พื้นผิวที่มีความชอบน้ำอยู่แล้วชอบน้ำได้มากขึ้น และทำให้พื้นผิวที่ไม่ชอบน้ำอยู่แล้วไม่ชอบน้ำมากขึ้น<sup>9,22</sup>

ในการวิจัยนี้ เมื่อปรับสภาพพื้นผิวด้วยวิธีแอกโนไดเซ็นในสารละลายโซเดียมฟลูออโรไดเมที่ให้ความชุ纪律พื้นผิวที่น้อยกว่าไฮเดรียมไฮดรอกาลูม กรดฟอสฟอริก และกลุ่มที่ไม่ผ่านกระบวนการแอกโนไดเซ็นอย่างมีนัยสำคัญทางสถิติ และมีค่ามุ่งสัมผัสต่ำกว่าอย่างมีนัยสำคัญทางสถิติด้วย ซึ่งสมบัตินี้จะส่งผลให้โลหะไวกาเนียมกลุ่มนี้มีความชอบน้ำดีขึ้น ซึ่งก่อให้เกิดผลต่อการดูดซับโปรตีนได้ดีขึ้นด้วย

ในประเดิมเรื่องโครงสร้างผลึกออกไซด์นั้น ในระยะหลัง มีงานวิจัยหลายฉบับที่ศึกษาความสำคัญของการพับไวกาเนียมไดออกไซด์ชนิดอะนาเทส ในแบบที่เป็นตัวที่ทำให้พื้นผิวชอบ

น้ำได้โดยใช้แสงเป็นตัวกระตุ้น (Photocatalytic hydrophilicity) โดยเมื่อสัมผัสแสงอัลตราไวโอเลตจะทำให้  $Ti^{4+}$  เปลี่ยนเป็น  $Ti^{3+}$  ซึ่งมีความชอบน้ำมากขึ้น<sup>2,23,24</sup> แต่งานวิจัยนี้ไม่ได้ศึกษาในสมบัติดังกล่าวอย่างไรก็ตามงานวิจัยนี้พบว่า  $Ti^{3+}$  ได้ออกไซด์ชนิดอะนาเทสเฉพาะในกลุ่มที่ใช้โซเดียมฟลูออไรด์เป็นสารละลายในกระบวนการแอกโนไดเซชันและไม่พบโครงสร้างผลึกออกไซด์ในรูปแบบอื่น เช่น ไทยาเนียมไดออกไซด์ชนิดครูไทร์ เนื่องจากไม่ได้มีการใช้ความร้อนในการทดลองทำให้ไม่เกิดการเปลี่ยนเฟสสิ่งไม่สามารถเบริญเที่ยบค่ามุ่งสัมผัสระหว่างไทยาเนียมไดออกไซด์ชนิดอะนาเทสและไทยาเนียมไดออกไซด์ชนิดครูไทร์แล้ว จากรายงานวิจัยนี้จะเห็นได้ว่าสมบัติทางกายภาพและสมบัติทางเคมีของพื้นผิวต่างส่งอิทธิพลต่อมุ่งสัมผัสได้ทั้งล้วน จึงจำเป็นต้องพิจารณาร่วมกันทั้งสมบัติทางกายภาพและสมบัติทางเคมีของพื้นผิวในการปรับสภาพพื้นผิวของไทยาเนียมให้มีสภาพเหมาะสมต่อการตอบสนองทางชีวภาพ

ผู้วิจัยเห็นว่างานวิจัยนี้สามารถใช้เป็นแนวทางการพัฒนาเทคนิคแอกโนไดเซชันต่อไปได้ เช่น การวัดความชุ纪律พื้นผิวของชั้นออกไซด์ด้วยเครื่องโปรไฟล์โลมิเตอร์อาจเปลี่ยนไปใช้เทคนิคอื่น เช่น วัดความชุ纪律พื้นผิวระดับนาโนเมตรด้วยเครื่องอะตอมฟอร์ซไมโครสโคป (Atomic Force Microscope, AFM) เนื่องจากการใช้เทคนิคหัวเข็มของเครื่องโปรไฟล์โลมิเตอร์นั้น หัวเข็มที่อ่านค่าอาจมีขีดจำกัดใหญ่กว่าความชุ纪律พื้นผิวที่เกิดขึ้นทำให้เกิดความคลาดเคลื่อนได้ ซึ่งอาจเป็นสาเหตุที่ทำให้ค่าความชุ纪律พื้นผิวที่วัดได้ในงานวิจัยนี้ไม่ถูกต้องกับภาพที่ได้จากการใช้จุลทรรศน์อิเล็กตรอนแบบส่องกราด และความมีการศึกษาเพิ่มเติมโดยการทดลองปรับปัจจัยอื่นในกระบวนการแอกโนไดเซชัน เช่น ระดับความต่างศักย์ ระยะเวลา เพื่อเปรียบเทียบชั้นออกไซด์ที่เหมาะสมและควรศึกษาต่อในระดับเซลล์เพื่อที่จะนำไปประยุกต์ใช้กับร่างกายมนุษย์ต่อไป

## สรุป

งานวิจัยนี้ขึ้นทดสอบที่ผ่านการแอกโนไดเซชันในสารละลายที่มีความเป็นกรด-ด่างต่างกัน พบร่วมกับไทยาเนียมกลุ่มที่ผ่านกระบวนการแอกโนไดเซชันในสารละลายโซเดียมฟลูออไรด์เท่านั้นที่เกิดโครงสร้างผลึกของชั้นออกไซด์เป็นไทยาเนียมไดออกไซด์รูปแบบอะนาเทส และเป็นกลุ่มที่มีความชุ纪律พื้นผิวน้อยกว่ากลุ่มที่ใช้สารละลายกรดฟอสฟอริก

โซเดียมฟลูออไรด์ และกลุ่มที่ไม่ผ่านกระบวนการแอกโนไดเซชันอย่างมีนัยสำคัญทางสถิติ แต่ทำให้มีค่ามุ่งสัมผัสน้อยกว่ากลุ่มอื่นอย่างมีนัยสำคัญทางสถิติตัวอย่างแสดงให้เห็นว่าเมื่อใช้โซเดียมฟลูออไรด์เป็นสารละลายในกระบวนการแอกโนไดเซชันจะทำให้พื้นผิวโลหะไทยาเนียมมีความชอบน้ำมากกว่าการใช้สารละลายเป็นกรดฟอสฟอริก โซเดียมฟลูออไรด์และไม่ผ่านกระบวนการแอกโนไดเซชัน

## กิตติกรรมประกาศ

ขอขอบคุณ บัณฑิตวิทยาลัย จุฬาลงกรณ์มหาวิทยาลัย ซึ่งสนับสนุนทุนวิจัย และอาจารย์พิพวรรณ พิทยานนท์ ที่ให้ความรู้และคำปรึกษาทางด้านสถิติในการวิจัย ขอขอบคุณบริษัทนาโนชีลด์ เอ็มเพี้ยนการจัดทำชิ้นตัวอย่างไทยาเนียมในงานวิจัยนี้ ศูนย์เทคโนโลยีโลหะและวัสดุแห่งชาติเอ็มเพี้ยนในการทดสอบกระบวนการแอกโนไดเซชัน ศูนย์เครื่องมือวิจัยวิทยาศาสตร์และเทคโนโลยีโลหะและวัสดุแห่งชาติเอ็มเพี้ยนในการทดสอบเอกซเรย์ดิฟแฟรากซ์ และคณะวิทยาศาสตร์ จุฬาลงกรณ์มหาวิทยาลัย เอ็มเพี้ยนในการวิเคราะห์ตัวยกลังของจุลทรรศน์อิเล็กตรอนแบบส่องกราดและการวิเคราะห์มุ่งสัมผัสด้วย

## เอกสารอ้างอิง

- Jackson MJ, Armed W, editors. Surface engineered surgical tools and medical devices. Springer, 2007:21-47.
- Guillemot F, Porté MC, Labrugère C, Baquey Ch.  $Ti^{4+}$  to  $Ti^{3+}$  conversion of  $TiO_2$  uppermost layer by low-temperature vacuum annealing: interest for titanium biomedical applications. *J Colloid Interface Sci.* 2002;255:75-8.
- Le Guehennec L, Soueidan A, Layrolle P, Amouriq Y. Surface treatments of titanium dental implants for rapid osseointegration. *Dent mater.* 2007;23:844-54.
- Kim KH, Kwan TY, Kim SY, Kang IK, Kim S, Yang Y, et al. Preparation and characterization of anodized titanium surfaces and their effect on osteoblast response. *J Oral Implantol.* 2006;32:8-13.
- Browne M, Gregson PJ. Effect of mechanical surface pretreatment on metal ion release. *Biomaterials.* 2000;21:385-92.

6. Martini D, Fini M, Franchi M, De Pasquale V, Bacchelli B, Gamberini M, et al. Detachment of titanium and fluorohydroxyapatite particles in unloaded endosseous implants. *Biomaterials*. 2003;24:1309-16.
7. Sul YT, Johansson C, Wennerberg A, Cho LR, Chang BS, Albrektsson T. Optimum surface properties of oxidized implants for reinforcement of osseointegration: Surface chemistry, oxide thickness, porosity, roughness, and crystal structure. *Int J Oral Maxillofac Implants*. 2005;20:349-59.
8. Afshar A, Vaezi MR. Anodizing of titanium in NaOH solution and its corrosion resistance in PBS physiologic solution. *Scientia Iranica*. 2003; 10:361-6.
9. Lim YJ, Oshida Y, Andres CJ, Barco MT. Surface characterizations of variously treated titanium materials. *Int J Oral Maxillofac Implants*. 2001;16: 333-42.
10. Wang R, Hashimoto K, Fujishima A, Chikuni M, Kojima E, Kitamura A, et al. Light-induced amphiphilic surfaces. *Nature*. 1997;388:431-2.
11. Das K, Bose S, Bandyopadhyay A. Surface modifications and cell-materials interactions with anodized Ti. *Acta Biomater*. 2007;3:573-85.
12. Ohtsuka T, Guo J, Sato N. Raman spectra of the anodic oxide film on Titanium in acidic sulfate and neutral phosphate solutions. *J Electrochem Soc*. 1986;133:2473-6.
13. Anusavice KJ. *Phillips-Science of Dental Materials*. Philadelphia: W.B. Sauder Company; 2003;768-70.
14. Buser D, Broggini N, Wieland M, Schenk RK, Denzer AJ, Cochran DL, et al. Enhanced bone apposition to a chemically modified SLA titanium surface. *J Dent Res*. 2004;83:529-33.
15. Ng BS, Annegren I, Soutar AM, Khor KA, Jarfors AEW. Characterisation of a duplex  $TiO_2/CaP$  coating on Ti 6Al 4V for hard tissue replacement. *Biomaterials*. 2005;26:1087-95.
16. Park KH, Heo SJ, Koak JY, Kim SK, Lee JB, Kim SH, et al. Osseointegration of anodized titanium implants under different current voltages: a rabbit study. *J Oral Rehabil*. 2007;34:517-27.
17. Choi JW, Heo SJ, Koak JY, Kim SK, Lim YJ, Kim SH, et al. Biological responses of anodized titanium implants under different current voltages. *J Oral Rehabil*. 2006;33:889-97.
18. Narayanan R, Ha JY, Kwon TY, Kim KH. Structure and properties of self-organized  $TiO_2$  nanotubes from stirred baths. *Metallurgical and materials transactions B*. 2008;39B:493-9.
19. Macak JM, Sirotna K, Schmuki P. Self-organized porous titanium oxide prepared in  $Na_2SO_4/NaF$  electrolytes. *Electrochim Acta*. 2005;50:3679-84.
20. Deligianni DD, Katsala N, Ladas S, Sotiropoulou D, Amedee J, Missirlis YF. Effect of surface roughness of the titanium alloy Ti-6Al-4V on human bone marrow cell response and on protein adsorption. *Biomaterials*. 2001;22:1241-51.
21. François P, Vaudaux P, Taborelli M, Tonetti M, Lew DP, Descouts P. Influence of surface treatments developed for oral implants on the physical and biological properties of titanium. (II) Adsorption isotherms and biological activity of immobilized fibronectin. *Clin Oral Implants Res*. 1997;8:217-25.
22. Rupp F, Scheideler L, Rehbein D, Axmann D, Geis-Gerstorfer J. Roughness induced dynamic changes of wettability of acid etched titanium implant modifications. *Biomaterials*. 2004;25:1429-38.
23. Sawase T, Jimbo R, Wennerberg A, Suketa N, Tanaka Y, Atsuta M. A novel characteristic of porous titanium oxide implants. *Clin Oral Implants Res*. 2007;18:680-5.
24. Jimbo R, Sawase T, Baba K, Kurogi T, Shibata Y, Atsuta M. Enhanced initial cell responses to chemically modified anodized titanium. *Clin Implant Dent Relat Res*. 2008;10:55-61.

# An influence of pH on surface characteristics of commercially pure titanium using anodization

Wannakan Kanjanama D.D.S.<sup>1</sup>

Viritpon Srimaneepong D.D.S., M.D.Sc., PhD.<sup>2</sup>

Dujreutai Pongkao Kashima B.Sc. (Chemistry), M.Sc. (Ceramic technology),  
D.Eng. (Materials Science and Engineering)<sup>3</sup>

<sup>1</sup>Graduate student, Department of Prosthodontics, Faculty of Dentistry, Chulalongkorn University

<sup>2</sup>Department of Prosthodontics, Faculty of Dentistry, Chulalongkorn University

<sup>3</sup>Department of Materials Science, Faculty of Science, Chulalongkorn University

## Abstracts

**Objective** To compare the surface characteristics and crystal structures of titanium oxide on commercially pure titanium before and after anodization using different pH electrolytes.

**Materials and methods** Commercially pure (Cp) titanium grade 2 plates were used in this study. Anodic oxidation was carried out in three different electrolytes,  $H_3PO_4$ , NaF and NaOH to represent acidic, neutral and alkaline conditions, respectively. The anodizations were performed at 20 voltage for 15 minutes. The surface characteristics and crystal structures of titanium oxide were observed with a profilometer, SEM, XRD and a contact angle meter. The data were statistically analyzed with one-way ANOVA ( $p < 0.05$ ) with Tamhane and Bonferroni multiple comparison.

**Results** Titanium specimens that were anodized using NaF electrolyte showed the least surface roughness ( $R_a$ ;  $0.078 \pm 0.014 \mu m$ ) and contact angle ( $16.75 \pm 3.24$  degree). It is statistically significant ( $p < 0.05$ ) from titanium specimens that were anodized using either NaOH or  $H_3PO_4$  and unanodized specimens.

**Conclusion** Anodized titanium using NaF electrolyte displayed the least surface roughness but the most hydrophilic.

(CU Dent J. 2010;33:67–76)

**Key words:** anodization; contact angle; surface roughness